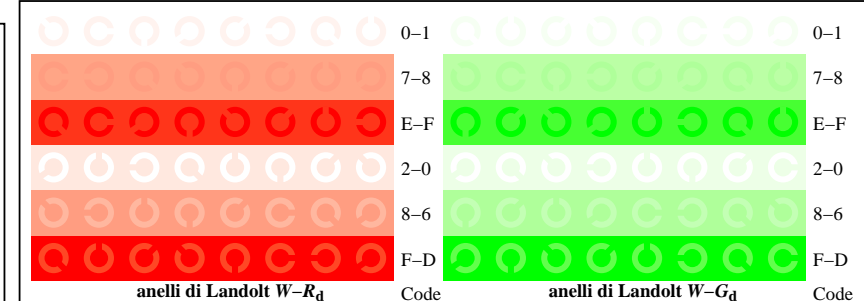


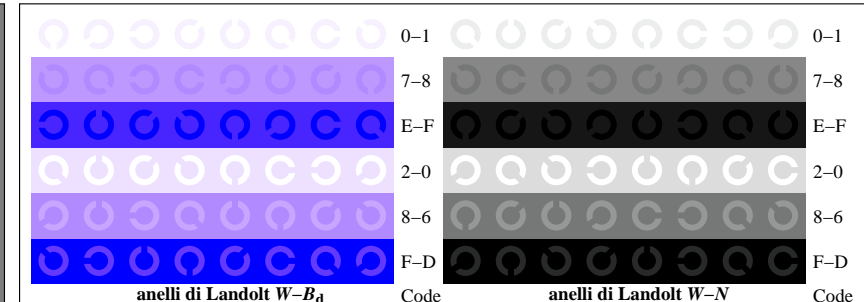
TI811-1, Fig. D4Wdd: 16 equidistant passi  $W-R_d; W-G_d; W-B_d; W-N$ ;  $rgb/cmy0 \rightarrow rgb_{dd}$  setrgbcolor

+-.:	Q	O	Q	O	C	lmno	C	O	C	O	pqrs	O	O	O	O	tuvw	O	O	O
xyz;	O	O	O	O	C	hijk	O	C	O	O	lmno	O	O	O	O	pqrs	O	O	O
tuvw	O	O	O	O	C	defg	O	O	O	O	hijk	O	O	O	O	hijk	O	O	O
pqrs	O	O	O	O	C	!abc	O	O	O	O	+-.:	O	O	O	O	+-.:	O	O	O
lmno	O	O	O	O	C		O	O	O	O	xyz;	O	O	O	O	xyz;	O	O	O
hijk	C	C	C	C	C		O	O	O	O	tuvw	O	O	O	O	tuvw	O	O	O
defg	O	O	O	O	C		O	O	O	O	defg	O	O	O	O	defg	O	O	O
!abc	O	O	O	O	C		O	O	O	O	6 N R_d G_d B_d Z					4 N R_d G_d B_d Z			
10	N	R_d	G_d	B_d	Z		O	O	O	O	8 N R_d G_d B_d Z								

TI811-3, Fig. D5Wdd: codice i Landolt anelli  $N; R_d; G_d; B_d; Z$ ; PS operator  $rgb \rightarrow rgb_{dd}$  setrgbcolor



TI811-5, Fig. D6Wdd: anelli di Landolt  $W-R_d; W-G_d$ ; PS operator  $rgb \rightarrow rgb_{dd}$  setrgbcolor



TI811-7, Fig. D7Wdd: anelli di Landolt  $W-B_d; W-N$ ; PS operator  $rgb \rightarrow rgb_{dd}$  setrgbcolor

